

猪瀬穿壁

○西山文男

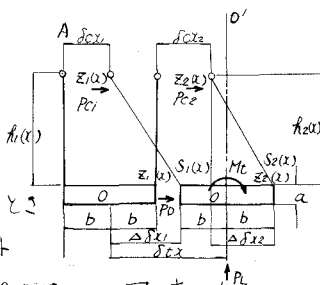
1. まえがき

従来、吊橋の横荷重に対する静的な解析は、Moiseiff の方法等によっていたが、これらは吊橋を橋軸中心から左右二つに分けて片側ケーブルに対して理論を適用するか、或は、両側ケーブルに対して適用した場合でも、風荷重等の横荷重によって補剛桁が変形した場合に、補剛桁のねじれによる影響は考慮されていなかった。ここでは左右のケーブルに対して各々 Moiseiff の理論を適用し、補剛桁にねじり剛性を考慮して両者を結び、いわば Moiseiff の理論を三次元的に拡張した。

この理論は、風荷重がある迎角をもって補剛桁に作用する場合の解析に利用される。後に示すグラフは、Severn 或は、Lillebælt 型の箱形補剛桁に風荷重の迎角を変化させて作用させた場合の諸結果を示したものである。

2. 理論展開

2-1. 諸元

 P_1 : 抗力 P_2 : 揚力 M_{to} : 迎角 ($\alpha = \alpha^*$) のときの回転モーメント $M_{to}(\theta)$: 補剛桁が θ だけねじれることによって生ずる回転モーメント

図表-1

2-2 条件式

図-1 の幾何学的条件よりひき力の釣合により

$$\delta_{tx} - \delta_{cx1} = \frac{A_1(x)}{S_1(x)} Z_1(x) + T \quad (1)$$

$$\delta_{tx} - \delta_{cx2} = \frac{A_2(x)}{S_2(x)} Z_2(x) + T \quad (2)$$

ケーブル水平力とハンガー張力の関係より

$$S_1(x) - S_2(x) = \frac{\partial}{\partial x} (H_1 \tan \psi_1 - H_2 \tan \psi_2) \quad (3)$$

ここに ψ はケーブル傾斜角である。

図-1において θ' に関するモーメントの釣合より 水平方向内力と外力の釣合より、

$$ECW \frac{d^4\theta}{dx^4} - GJd \frac{d^2\theta}{dx^2} = \left\{ S_1(x) - S_2(x) b - Z_1(x)(a + \theta b) - Z_2(x)(a - \theta b) + M_{to} + M_{to}(\theta) \sin \frac{\pi x}{L} \right\} \quad (4)$$

(3)式において

$$H_1 \tan \psi_1 = \frac{HW}{2} \left(\frac{dy}{dx} + \frac{du}{dx} \right) + Hs_1 \left(\frac{dy}{dx} + \frac{du}{dx} \right) \quad (i) \quad (9) \text{ および } (4) \text{ 式より } X(x), Z_1(x), Z_2(x) \text{ の } 3 \text{ つ} \\ H_2 \tan \psi_2 = \frac{HW}{2} \left(\frac{dy}{dx} + \frac{du}{dx} \right) + Hs_2 \left(\frac{dy}{dx} + \frac{du}{dx} \right) \quad (ii) \quad \text{の未知数を求める。} (6) \text{ 式の } M_{to}(\theta) \text{ は最初 } 0 \text{ となる関係から, } \eta_1 = -\theta b, \eta_2 = \theta b \text{ なることを考慮し} \\ \text{おき迎角} \alpha = \theta \text{ とす。} M_{to} \text{ を求めて得た } S_1(x) - S_2(x) = bHW \frac{d^2\theta}{dx^2} - \frac{8t}{L^2} H \quad (5) \quad \theta = 0 \text{ によって式1近似解の } M_{to}(\theta) \text{ を求める。以下式} \\ \text{をうる。但し } H = -(Hs_1 - Hs_2) \quad (6) \text{ 式に代入して得た } Hs_1 \frac{d^2u}{dx^2} - Hs_2 \frac{d^2u}{dx^2} = 0 \text{ とする。} (5) \text{ 式と (3) 式に代入すると} \\ \text{よき迎角} \alpha = \theta \text{ によって式1近似解を (6) 式が成立つように求めて} \\ \text{いくと最終的に } M_{to}(\theta) \text{ をうる。}$$

入すると

$$ECW \frac{d^4\theta}{dx^4} - (GJd + Hw b^2) \frac{d^2\theta}{dx^2} = -\frac{8t}{L^2} H + M_{to} + M_{to}(\theta) \sin \frac{\pi x}{L} \quad (6)$$

をうる。この式における H は左右ケーブルの釣合か

$$\therefore \left\{ \begin{array}{l} O = \int \frac{Hs_1 \sec^3 \varphi}{ECAC} dx + \frac{d\varphi}{dx^2} \int \eta_1 dx + dt t L_t \\ O = \int \frac{Hs_2 \sec^3 \varphi}{ECAC} dx + \frac{d\varphi}{dx^2} \int \eta_2 dx + dt t L_t \end{array} \right. \quad (i) \quad \text{スパン } l = 8000 \text{ (m)}, E = 21 \times 10^7 \text{ (N/mm²)}, G = 0.1 \times 10^6 \text{ (N/mm²)} \\ I = 79.856 \text{ (mm⁴)}, J = 5.072 \text{ (mm⁴)}, f = 700 \text{ mm}, W_d = 16.49 \text{ (t/m)}$$

$$\left\{ \begin{array}{l} O = \int \frac{Hs_1 \sec^3 \varphi}{ECAC} dx + \frac{d\varphi}{dx^2} \int \eta_1 dx + dt t L_t \\ O = \int \frac{Hs_2 \sec^3 \varphi}{ECAC} dx + \frac{d\varphi}{dx^2} \int \eta_2 dx + dt t L_t \end{array} \right. \quad (ii) \quad PD = 0.644 \text{ (t/m)}, PC_1 = -0.118 \text{ (t/m)}, PC_2 = 0.118 \text{ (t/m)}, T = 0.0 \text{ (t/m)}$$

(iii)-(iv) 5)

$$O = \frac{H \sec^3 \varphi}{ECAC} dx + \frac{d^2\varphi}{dx^2} 2b \int \theta dx + dt (t_2 - t_1) L_t - (7)$$

(7)式より H を求めて (6) 式に代入し境界条件

$$X=0; \theta=0, \frac{d^2\theta}{dx^2}=0, X=l, \theta=0 \frac{d^2\theta}{dx^2}=0 \quad (8)$$

で (6) 式を解く。

一方 (i) や (ii) (2) 式同様

$$-S_1(x) = -\frac{Wd - PL}{2} - \frac{\partial}{\partial x} (H_1 \tan \psi_1) \quad (V)$$

$$-S_2(x) = -\frac{Wd - PL}{2} - \frac{\partial}{\partial x} (H_2 \tan \psi_2) \quad (VI)$$

補剛析にかかる荷重を $X(x)$ とすると (V) (VI)

$$\therefore \frac{1}{EI} \iiint X(x) dx \cdot dx \cdot dx \cdot dx - \frac{1}{H_1} \iint Z_1(x) dx \cdot dx$$

$$= \frac{1}{2} \frac{Z_1(x) \cdot Z_1(x)}{(Wd - PL - Hw b \frac{d^2\theta}{dx^2})} + T \quad (8)$$

$$\frac{1}{EI} \iiint X(x) dx \cdot dx \cdot dx \cdot dx - \frac{1}{H_2} \iint Z_2(x) dx \cdot dx$$

$$= \frac{1}{2} \frac{Z_2(x) \cdot Z_2(x)}{(Wd - PL + Hw b \frac{d^2\theta}{dx^2})} + T \quad (9)$$

めた θ と(i) (ii)の H_1, H_2 及(8), (9)式に代入して

得て得た θ と(i) (ii)の H_1, H_2 及(8), (9)式に代入して

おき迎角 $\alpha = \theta$ によって得た M_{to} を求めて得た

$\theta = 0$ によって得た近似解の $M_{to}(\theta)$ を求めて得た

2, 3 … 近似解を (6) 式が成立つように求めて

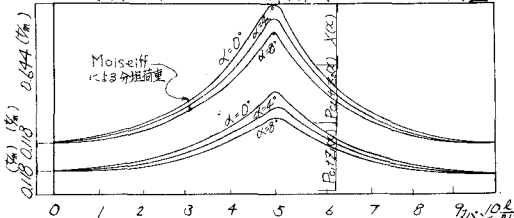
いくと最終的に $M_{to}(\theta)$ をうる。

3. 数値計算

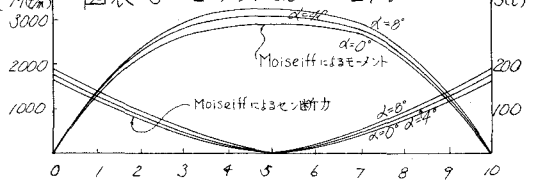
$$I = 79.856 \text{ (mm⁴)}, J = 5.072 \text{ (mm⁴)}, f = 700 \text{ mm}, W_d = 16.49 \text{ (t/m)}$$

$$PD = 0.644 \text{ (t/m)}, PC_1 = -0.118 \text{ (t/m)}, PC_2 = 0.118 \text{ (t/m)}, T = 0.0 \text{ (t/m)}$$

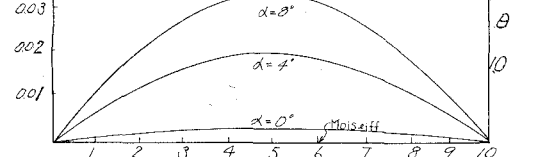
図表-2 ケーブルと補剛析にかかる荷重



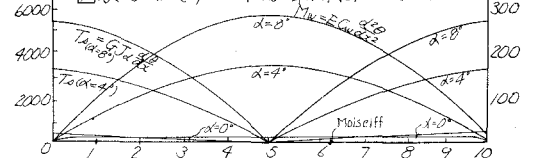
図表-3 モーメント及びセン断力



図表-4 補剛桁のねじり角



図表-5 ねじりモーメント及び軸方向二次応力



4. まことに以上のように迎角を考慮しないと危険であるので上述の考察が必要である。